

Wichtiger Hinweis

Diese Formelsammlung ist noch in der Entwicklung und nicht Prüfungstauglich!

Allerdings würden wir uns über Unterstützung freuen das zu ändern. Wer Lust hat kann uns über das Kontaktformular auf www.latex4ei.de erreichen.

1. Grundlagen

1.1. Sinus, Cosinus $\sin^2(x) + \cos^2(x) = 1$

	0	$\pi/6$	$\pi/4$	$\pi/3$	$\frac{1}{2}\pi$	π	$1\frac{1}{2}\pi$	2π
φ	0°	30°	45°	60°	90°	180°	270°	360°
sin	0	$\frac{1}{2}$	$\frac{1}{\sqrt{2}}$	$\frac{\sqrt{3}}{2}$	1	0	-1	0
cos	1	$\frac{\sqrt{3}}{2}$	$\frac{1}{\sqrt{2}}$	$\frac{1}{2}$	0	-1	0	1
tan	0	$\frac{\sqrt{3}}{3}$	1	$\sqrt{3}$	$\pm\infty$	0	$\mp\infty$	0

Verbraucherfeilsystem: Spannung und Strom sind assoziiert. Positive Leistung bedeutet Leistungsaufnahme oder Verbrauch von Leistung. Negative Leistung bedeutet Leistungsabgabe oder Erzeugung von Leistung. Das Gegenteil wäre das Erzeugersystem. In den meisten Fachgebieten wird im Verbrauchersystem gerechnet.

1.2. Begriffserklärung, Glossar

Zählpeile: Zeigen die gemeinsame(assoziierte) Zählrichtung von Stromfluss und Spannungsabfall zwischen zwei Knoten an, unabhängig von den tatsächlichen Richtungen (Vorzeichen).

Masse (Signale) \perp : Gemeinsamer el. Bezugspunkt mit Potential 0V

Erdung (Fehlstrom): Schutz vor Kurzschluss, führt nur im Fehlerfall Strom.

Kurzschluss (KS): ideal leitender Draht. $u_{KS} = 0$, i_{KS} = beliebig

Leerlauf (LL): ideal isolierende Luft. u_{LL} = beliebig, $i_{LL} = 0$

Tor: Ein Tor bilden zwei Anschlüsse bei denen der Stromzufluss des einen Anschluss gleich dem Stromabfluss des anderen Anschluss entspricht. $i_{in} = i_{out}$

Arbeitspunkt (AP): Betriebspunkt bei dem alle Kleinsignalquellen Null sind.

2. Netzwerktheorie

2.1. Kirchhoff-Gesetze

Konzentriertheithypothese: $d \ll \lambda$ mit

d = Größe der Schaltung, Wellenlänge $\lambda = cT$

Stromgesetz KCL

Kirchoff's Current Law

Knotenregel

$$\sum_{\text{Knoten}} i_k(t) = 0$$

rausfließende Ströme positiv

Maxwell: $\text{div } \underline{j} = 0$

$(n-1)$ Gleichungen

Spannungsgesetz KVL

Kirchoff's Voltage Law

Maschenregel

$$\sum_{\text{Masche}} u_m(t) = 0$$

Spannungen in Umlaufrichtung positiv

Maxwell: $\text{rot } \underline{E} = 0$

$b - (n-1)$ Gleichungen

$$\text{Knoteninzidenzmatrix: } \underline{A}' = \begin{bmatrix} \alpha_{11} & \dots & \alpha_{1b} \\ \vdots & & \vdots \\ \alpha_{n1} & \dots & \alpha_{nb} \end{bmatrix} \quad n \text{ Knoten}$$

Spaltensummen von \underline{A}' sind immer = 0

\Rightarrow Zeile des Bezugsknotens streichen \Rightarrow

$\underline{A}'_{ii} = 0$ (reduzierte Knoteninzidenzmatrix)

$$\underline{M} = \underline{A}'^T \text{ mit } \underline{u} = \underline{M}' \underline{u}_k \Rightarrow \text{KVL in Matrixform: } \underline{u} - \underline{A}^T \underline{u}_k = 0$$

2.2. Schaltung und Netzwerkgraph

Der gerichtete Netzwerkgraph stellt die Verbindungsstruktur einer Schaltung durch n Knoten (node) und b Verbindungskanten (branch) mit Richtungspeilen dar.

Jedes Bauelement mit zwei Anschlüssen entspricht einer Verbindungskante. Ein Knoten ist dort, wo ein oder mehr Anschlüsse von Bauteilen durch ideal leitenden Draht miteinander verbunden sind. Verbundene Anschlüsse entsprechen einem Kurzschluss, nicht verbundene Anschlüsse einem Leerlauf!

Um die Betriebspunkte einer Schaltung zu bestimmen sind $2b$ linear unabhängige Gleichungen nötig. Man erhält diese $2b$ Gleichungen aus den Beschreibungen der Bauelemente und den Kirchhoff Gleichungen.

2.3. Eintorverschaltungen

Serienschaltung		Parallelschaltung	
$u = \sum u_i$	$i = \text{const.}$	$u = \text{const.}$	$i = \sum i_i$
$q = \text{const.}$	$\Phi_M = \sum \Phi_{M,i}$	$q = \sum q_i$	$\Phi_M = \text{const.}$
$R = \sum R_i$	$M = \sum M_i$	$\frac{1}{R} = \sum \frac{1}{R_i}$	$\frac{1}{M} = \sum \frac{1}{M_i}$
$\frac{1}{C} = \sum \frac{1}{C_i}$	$L = \sum L_i$	$C = \sum C_i$	$\frac{1}{L} = \sum \frac{1}{L_i}$
$Z = \sum Z_i$	$\frac{1}{Y} = \sum \frac{1}{Y_i}$	$\frac{1}{Z} = \sum \frac{1}{Z_i}$	$Y = \sum Y_i$

$$\frac{1}{R} = \frac{1}{R_1} + \frac{1}{R_2} \Rightarrow R = R_1 \parallel R_2 = \frac{R_1 \cdot R_2}{R_1 + R_2}$$

2.4. Linearisierung

Großsignal

$$i = I_{AP} + \Delta i$$

$$u = U_{AP} + \Delta u$$

Kleinsignal

$$\Delta i = i - I_{AP}$$

$$\Delta u = u - U_{AP}$$

$$\Delta \underline{i} \approx \underline{G} \cdot \Delta \underline{u} \quad \underline{G} \text{ ist die Jakobimatrix } \left. \frac{\partial g_i(\underline{u})}{\partial u_j} \right|_{U_{AP}}$$

$$\Delta \underline{u} \approx \underline{R} \cdot \Delta \underline{i}$$

Großsignal: $i \approx I_{AP} + G(U_{AP}) \cdot (u - U_{AP})$

Implizite Linearisierung: $\Delta \underline{f}(\Delta \underline{u}, \Delta \underline{i}) = \underline{M} \Delta \underline{u} + \underline{N} \Delta \underline{i}$

$$\underline{M} := \begin{bmatrix} \frac{\partial f_1}{\partial u_1} & \frac{\partial f_1}{\partial u_2} \\ \frac{\partial f_2}{\partial u_1} & \frac{\partial f_2}{\partial u_2} \end{bmatrix} \quad \underline{N} := \begin{bmatrix} \frac{\partial f_1}{\partial i_1} & \frac{\partial f_1}{\partial i_2} \\ \frac{\partial f_2}{\partial i_1} & \frac{\partial f_2}{\partial i_2} \end{bmatrix}$$

2.5. Resistive Eintore

• Implizite Darstellung: $f_F(u, i) = 0$

• Parameterdarstellung: $u = u_F(\lambda) \quad i = i_F(\lambda)$

• Explizite Darstellung: $i = g_F(u) \quad u = r_F(i)$
Leitwertdarstellung Widerstandsdarstellung

• Umpolung: \bar{F} entsteht durch Punktspiegelung von F am Ursprung: $(\bar{u}, \bar{i}) = (-u, -i) \in \bar{F}$

• Dualität: $(u, i) \in F \Leftrightarrow (R_d i, \frac{u}{R_d}) \in F^d$

• Parallelschaltung von Widerstandsgeraden: $G = G_1 + G_2$
 $\Rightarrow \frac{1}{R} = \frac{1}{R_1} + \frac{1}{R_2} \Rightarrow R = R_1 \parallel R_2 = \frac{R_1 R_2}{R_1 + R_2}$

• Serienschaltung von Widerstandsgeraden: genauso wie Parallelschaltung nur R statt G

• Arbeitspunkt ermitteln:

1. Schaltungs auflösen in Quelle Q und Last L

2. Parameterdarstellung \Rightarrow Kennlinien zeichnen

3. Lösung: Schnittpunkte der Kennlinien! \Rightarrow ist die Funktion im AP stetig und diffbar, kann man sie dort linearisieren

Eigenschaften von F :

F ungepolt

F aktiv

F verlustfrei

F quellenfrei

F streng linear

Kennlinie punktsymm. zum Ursprung

mind. 1 Pkt. in II. od. IV. Quadr.

nur auf Koordinatenachsen

enthält den Ursprung

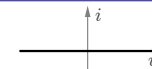
$(ku, ki) \in F \quad (u_1 + u_2, i_1 + i_2) \in F$

3. Resistive Eintore

Leerlauf



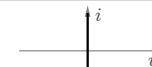
u = beliebig
 $i = 0$
 u , sl, v



Kurzschluss



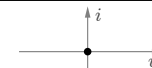
$u = 0$
 i = beliebig
 u , sl, v



Nullator



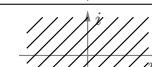
$u = 0 \quad i = 0$
 u , sl, v, dual zu sich selbst



Norator



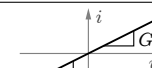
u = beliebig
 i = beliebig
 u , sl, a, dual zu sich selbst



Widerstand



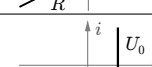
$u = R \cdot i$
 $i = G \cdot u \quad G = \frac{1}{R}$



Spannungsq.



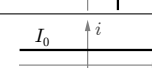
$u = U_0$
 i = beliebig



Stromquelle



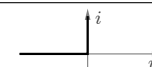
u = beliebig
 $i = I_0$



ideale Diode



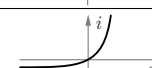
$u = 0$ falls $i > 0$
 $i = 0$ falls $u < 0$



reale Diode



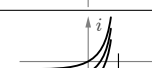
$u_D = u_T \cdot \ln\left(\frac{i_D}{I_S} + 1\right)$
 $i_D = I_S \cdot \left(\exp\left(\frac{u_D}{u_T}\right) - 1\right)$



Photodiode



$i = I_S \left(e^{\frac{u_D}{U_T}} - 1 \right) - i_L$



4. Resistive Zweitore

Ein Zweitor besteht aus zwei Eintoren.

4.1. Beschreibungsformen von Zweitoren

Beschreibung	nicht linear	linear
Implizit	$f_{\mathcal{F}}(\underline{u}, \underline{i}) = 0$	$\begin{bmatrix} \mathbf{M} & \mathbf{N} \end{bmatrix} \cdot \begin{bmatrix} \underline{u} \\ \underline{i} \end{bmatrix} = 0$
Parametrisch	$\underline{u} = u_{\mathcal{F}}(\lambda)$ $\underline{i} = i_{\mathcal{F}}(\lambda)$	$\underline{u} = \begin{bmatrix} \mathbf{U} \\ \mathbf{I} \end{bmatrix} \cdot \lambda$
Explizit	nicht linear	linear
Widerstand-beschreibung	$\begin{bmatrix} u_1 \\ u_2 \end{bmatrix} = \begin{bmatrix} r_1(i_1, i_2) \\ r_2(i_1, i_2) \end{bmatrix}$	$= \begin{bmatrix} U_0 \\ U_0 \end{bmatrix} + \mathbf{R} \begin{bmatrix} i_1 \\ i_2 \end{bmatrix}$
Leitwert-beschreibung	$\begin{bmatrix} i_1 \\ i_2 \end{bmatrix} = \begin{bmatrix} g_1(u_1, u_2) \\ g_2(u_1, u_2) \end{bmatrix}$	$= \begin{bmatrix} I_0 \\ I_0 \end{bmatrix} + \mathbf{G} \begin{bmatrix} u_1 \\ u_2 \end{bmatrix}$
Hybrid-beschreibung	$\begin{bmatrix} u_1 \\ i_2 \end{bmatrix} = \begin{bmatrix} h_1(i_1, u_2) \\ h_2(i_1, u_2) \end{bmatrix}$	$= \mathbf{H} \cdot \begin{bmatrix} i_1 \\ u_2 \end{bmatrix}$
Inver. Hybrid-beschreibung	$\begin{bmatrix} i_1 \\ u_2 \end{bmatrix} = \begin{bmatrix} h'_1(u_1, i_2) \\ h'_2(u_1, i_2) \end{bmatrix}$	$= \mathbf{H}' \cdot \begin{bmatrix} u_1 \\ i_2 \end{bmatrix}$
Ketten-beschreibung	$\begin{bmatrix} u_1 \\ i_1 \end{bmatrix} = \begin{bmatrix} a_1(u_2, -i_2) \\ a_2(u_2, -i_2) \end{bmatrix}$	$= \mathbf{A} \cdot \begin{bmatrix} u_2 \\ -i_2 \end{bmatrix}$
Inver. Ketten-beschreibung	$\begin{bmatrix} u_2 \\ i_2 \end{bmatrix} = \begin{bmatrix} a'_1(u_1, -i_1) \\ a'_2(u_1, -i_1) \end{bmatrix}$	$= \mathbf{A}' \cdot \begin{bmatrix} u_1 \\ -i_1 \end{bmatrix}$

4.2. Verschaltung von Zweitoren

Es gibt sechs mögliche Verschaltungen.

Verschaltung	Bild
Parallel: $g_{ges} = g_{\mathcal{F}1} + g_{\mathcal{F}2}$ linear: $\mathbf{G}_{ges} = \mathbf{G}_1 + \mathbf{G}_2$ Umrechnung:	
Serie: $r_{ges} = r_{\mathcal{F}1} + r_{\mathcal{F}2}$ linear: $\mathbf{R}_{ges} = \mathbf{R}_1 + \mathbf{R}_2$	
Hybrid: $h_{ges} = h_{\mathcal{F}1} + h_{\mathcal{F}2}$ linear: $\mathbf{H}_{ges} = \mathbf{H}_1 + \mathbf{H}_2$	
Hybrid Inv.: $h'_{ges} = h_{\mathcal{F}1} + h'_{\mathcal{F}2}$ linear: $\mathbf{H}'_{ges} = \mathbf{H}'_1 + \mathbf{H}'_2$	
Kette: $a_{ges} = a_{\mathcal{F}1} \cdot a_{\mathcal{F}2}$ linear: $\mathbf{A}_{ges} = \mathbf{A}_1 \cdot \mathbf{A}_2$	
Kette Inv.: $a'_{ges} = a'_{\mathcal{F}2} \cdot a'_{\mathcal{F}1}$ linear: $\mathbf{A}'_{ges} = \mathbf{A}'_2 \cdot \mathbf{A}'_1$	

4.3. Liste von Zweitoren

4.3.1 Übertrager (z.B. Transformator)

$A = \begin{bmatrix} \ddot{u} & 0 \\ 0 & \frac{1}{\ddot{u}} \end{bmatrix}$
 $R_{in} = \frac{u_1}{i_1} = \ddot{u}^2 R_L$
Eigenschaften: verlustlos(ideal)

4.3.2 Gyator

Der Gyator wandelt das an Tor 1 geschaltete Bauteil in das duale Bauteil an Tor 2 um.

$\mathcal{F}_{in} = \mathcal{F}^d \quad A = \begin{bmatrix} 0 & R_1 \\ \frac{1}{R_2} & 0 \end{bmatrix}$
Eigenschaften: streng linear, verlustlos für $R_1 = R_2$

4.3.3 Negativ-Immitanz-Konverter

$A = \begin{bmatrix} -k & 0 \\ 0 & \frac{1}{k} \end{bmatrix}$
 $R_{in} = \frac{u_1}{i_1} = -k^2 R \quad -k^2 R : \text{negativer Widerstand(et voilà xD)}$
Eigenschaften: streng linear, aktiv

4.4. NIK allgemein (Polung beachten)

I negative Sättigung $u_d < 0 \Leftrightarrow u_{out} = -U_{sat}$
 $u = R_0 i - U_{sat}$
II linearer Bereich $u_d = 0$
 $u = -\frac{R_0}{R_1} R_L \cdot i \quad -U_{sat} < \frac{R_L + R_1}{R_L} u < U_{sat}$
III positive Sättigung $u_d > 0 \Leftrightarrow u_{out} = U_{sat}$
 $u = R_0 i + U_{sat}$

4.4. Eigenschaften von Ein- und Mehrtores

Ein Mehrtor $\mathcal{F}(\underline{u}, \underline{i})$ ist ...
Resistiv: Gedächtnislos; nur von u und i abhängig
Zeitvariant: Betriebsraum kann sich ändern
Reziprok: Reziprozität, Matrix transponierbar($r_{12}=r_{21}$). Stärker: Symmetrie: $r_{11}=r_{22}$ Merke: Alle Mehrtores die nur aus R, L, C bestehen sind reziprok!

Eigenschaft	Bedingung
F quellenfrei	$0 \in \mathcal{F}$; enthält den Ursprung
F streng linear	$(ku, ki) \in \mathcal{F} \quad (u_1 + u_2, i_1 + i_2) \in \mathcal{F}$
Nur für Eintore: unepolt	Kennlinie punktsymm. zum Ursprung $\mathcal{F}(u, i) = \mathcal{F}(-u, -i)$

5.1. Linearität

Linear: $(ku, ki) \in \mathcal{F} \quad (u_1 + u_2, i_1 + i_2) \in \mathcal{F}$ (Kennlinie gerade)
Streng Linear: linear + quellenfrei, (Gerade durch Ursprung)

5.2. Zeitvarianz

Ein Mehrtor heißt zeitvariant, wenn sich sein Betriebsraum mit der Zeit ändern kann, ansonsten ist es Zeitinvariant.

5.3. Steuerung

Ein Bauelement ist von einer Größe gesteuert, wenn die jeweilige explizite Beschreibung existiert.
Stromgesteuert: $u = \mathcal{R}(i)$ Spannungsgesteuert: $i = \mathcal{G}(u)$
Ladungsgesteuert: $u = \mathcal{C}^{-1}(q)$ Flussgesteuert: $i = \mathcal{L}^{-1}(\varphi)$

5.4. Leistungsbetrachtung

Leistung: $P(t) = \underline{u}^T \cdot \underline{i} = u_1 i_1 + \dots + u_n i_n$
Passiv: $\forall \mathcal{F}(u, i) : P(t) \geq 0$ Kennlinie nur I. oder III. Quadrant
Aktiv: $\exists \mathcal{F}(u, i) : P(t) < 0$ Kennlinie im II. oder IV. Quadrant
Verlustlos: $\forall \mathcal{F}(u, i) : P(t) = 0$ Kennlinie nur auf Koordinatenachsen
Merke: Alle Mehrtores die nur aus passiven Bauelementen(R,C,L,...) bestehen, sind selbst passiv! inkremental passiv:
letztendlich passiv: $\exists U, I > 0 \forall (u, i) \in \mathcal{F} : (|u| > U \vee |i| > I \Rightarrow ui > 0)$
Alle realen Bauteile sind letztendlich passiv, da sonst unendlich viel Energie entstehen würde.

5. Transistoren

Ein Transfer Resistor ist ein elektronisch gesteuerter Widerstand zum verstärken bzw. schalten von Strömen. Eigenschaften: passiv,

6.1. Emitterschaltung

$i_b = I_S \left(\exp\left(\frac{u_{be}}{U_T}\right) - 1 \right) \quad u_{be} = U_T \ln\left(\frac{i_b}{I_S} + 1\right)$
 $i_c = \beta i_b$

7. Operationsverstärker (OpAmp)

Der Operationsverstärker ist ein elektronischer Verstärker.

7.1. Idealer Operationsverstärker

ESB I Sättigungsbereich $u_d < 0 \quad u_{out} = -U_{sat}$
ESB II streng linearer Bereich $u_d = 0 \quad |u_{out}| \leq |U_{sat}|$
ESB III Sättigungsbereich $u_d > 0 \quad u_{out} = +U_{sat}$

Invertierender Verstärker

$u_{out} = -\frac{R_0}{R_1} u_{in}$

Nichtinvert. Verstärker

$u_{out} = \left(1 + \frac{R_0}{R_1}\right) u_{in}$

Spannungsteiler

$u_{out} = \dots$

Differenzierer

$u_{out} = -RC \cdot \dot{u}_{in}$

Integrierer

$u_{out} = -\frac{1}{RC} \int_{t_0}^t u_{in} dt$

Addierer

$u_{out} = \dots$

Logarithmierer

$u_{out} = -U_T \ln \frac{u_{in}}{R \cdot I_S}$

Exponentzierer

$u_{out} = -R \cdot I_S \exp\left(\frac{u_{in}}{U_T}\right)$

NIK

$u = -R \dots$

8. Allgemeine Analyseverfahren

8.1. Die Tableau-Gleichung

... beschreibt ein Netzwerk vollständig bezüglich Verschaltung und Bauteilverhalten. $\underline{T} = \begin{bmatrix} \mathbf{A} & \mathbf{0} \\ \mathbf{0} & \mathbf{B} \\ \mathbf{M} & \mathbf{N} \end{bmatrix}$

8.2. Knotenspannungsanalyse

$\underline{\mathbf{Y}}_k \cdot \underline{u}_k = \underline{\dot{q}}$
Knotenleitwertmatrix Spannungsvektor = Stromquellenvektor

Vorgehen:

1. Nicht lineare Elemente linearisieren
2. Nicht spannungsgesteuerte Elemente (dual)wandeln
3. Aufstellen der Leitwertmatrix $\underline{\mathbf{Y}}_k$
4. Bestimmung des Stromquellenvektors $\underline{\dot{q}}$

9. Digitale Logik

9.1. CMOS Logik

Komplementäre Logik durch pMos und nMos Transistoren auf einem Substrat.

NOT (2 Trans.)

NAND (4 Trans.)

NOR (4 Trans.)

Homepage: www.latex4ei.de – Fehler bitte **sofort** melden.

von LaTeX4EI - Mail: info@latex4ei.de

Stand: 9. Februar 2016 um 17:35 Uhr

2

Wichtiger Hinweis

Diese Formelsammlung ist noch in der Entwicklung und nicht Prüfungstauglich !
Allerdings würden wir uns über Unterstützung freuen das zu ändern.
Wer Lust hat kann uns über das Kontaktformular auf www.latex4ei.de erreichen.

10. Allgemeines

10.1. Die vier zentralen Größen u, i, q, Φ

... beschreiben die Wirkungsweise von elektronischen Bauelementen.

Größe	Definition
Spannung u	Potentialdifferenz. Richtung: Von hohem zu niedrigem Potential
Stromfluss i	Bewegte Ladung. Richtung: Bewegungsrichtung positiver Ladung
Ladung q	Grundeigenschaft von Materie. Es gibt positive und negative Ladung
Magn. Fluss Φ	Grundeigenschaften von elektr. magn. Feldern.

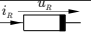
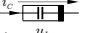
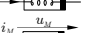
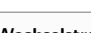
10.1.1 Allgemeine Zusammenhänge u, i, q, Φ

Ladung und Strom beschreiben den Zustand der Materie.

Spannung und magn. Fluss beschreiben den Zustand des elektr. magn. Feldes.

$i(t) = \dot{q}(t)$	$[i] = A$
$q(t) = q(t_0) + \int_{t_0}^t i(\tau) d\tau$	$[q] = As = C$
$u(t) = \dot{\Phi}(t)$	$[u] = V$
$\Phi = \Phi(t_0) + \int_{t_0}^t u(\tau) d\tau$	$[\Phi] = Vs = Wb$

10.1.2 Arten von Bauelementen

Art	Symbol	Beschr.	linear
Resistivität		$f_R(u, i)$	$u = U_0 + R \cdot i$
Kapazität		$f_C(u, q)$	$q = Q_0 + C \cdot u$
Induktivität		$f_L(i, \Phi)$	$\Phi = \Phi_0 + L \cdot i$
Memristivität		$f_M(q, \Phi)$	$\Phi = \Phi_0 + M \cdot q$

10.2. Komplexe Wechselstromrechnung

Voraussetzung: lineares, eingeschwungenes System mit sinusförmiger Erregung $x(t) = \hat{x} \cdot \cos(\omega t + \varphi)$ Effektivwert $X = \frac{\hat{x}}{\sqrt{2}}$

Differentialoperator: $\frac{d}{dt} = i\omega$

Reelles Zeitsignal:	$x(t) = \hat{x} \cdot \cos(\omega t + \varphi_x)$
Effektiver Zeiger:	$\mathbf{X} = X_w + iX_b = X \exp(i\varphi_x)$
Scheitel Zeiger:	$\hat{\mathbf{X}} = \sqrt{2}\mathbf{X} = \hat{X} \exp(i\varphi_x)$
Kompl. Zeitsignal:	$\mathbf{x}(t) = \hat{\mathbf{X}} \cdot e^{i\omega t} = \hat{x} \cdot e^{i(\omega t + \varphi_x)}$
Phase:	$\varphi_x := \arg \mathbf{X} = \arctan \frac{X_b}{X_w}$

$\mathbf{Z}(j\omega) = R(j\omega) + jX(j\omega)$	$\mathbf{U} = \mathbf{Z} \cdot \mathbf{I}$
Impedanz Resistanz Reaktanz	
$\mathbf{Y}(j\omega) = G(j\omega) + jB(j\omega)$	$\mathbf{I} = \mathbf{Y} \cdot \mathbf{U}$
Admittanz Konduktanz Suszeptanz	

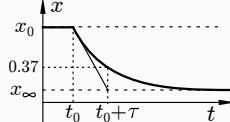
	Widerstand	Kondensator	Spule	Memristor
$Z =$	R	$\frac{1}{j\omega C}$	$j\omega L$	M
$Y =$	$G = \frac{1}{R}$	$j\omega C$	$\frac{1}{j\omega L}$	$\frac{1}{M}$
$\Delta\varphi =$ $\varphi_u - \varphi_i$	0	$-\frac{\pi}{2}$	$\frac{\pi}{2}$?

Merke: Am Kondensator, eilt der Strom vor, bei Induktivitäten, wird er sich verspäten

Merke: Ist das Mädchen brav, bleibt der Bauch konkav, hat das Mädchen Sex, wird der Bauch konvex.

10.3. Schaltungen ersten Grades

Zustandsgleichung:

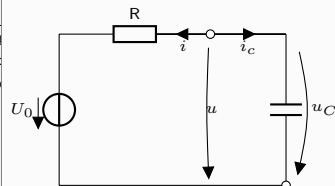
$$\dot{x}(t) = -\frac{x(t)}{\tau} + \frac{x_\infty}{\tau}$$


$\tau > 0$: System stabil
 $\tau < 0$: System instabil

$$\text{Lösung: } x(t) = x_\infty + (x_0 - x_\infty) \exp\left(-\frac{t - t_0}{\tau}\right)$$

Mit Parameter aus ESB: C: $x_\infty = U_0(t)$, L: $x_\infty = I_0(t)$

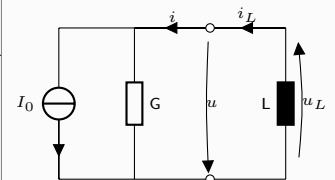
10.3.1 Helmholtz / Thévenin ESB



$$i_C = -i \quad i_C = C \cdot \dot{u}_C \quad u_C(t_\infty) = U_0$$

Zeitkonstante: $\tau = R \cdot C$

10.3.2 Mayer / Norton ESB




$$u_L = -u \quad u_L = L \cdot \dot{i}_L \quad u_L = L \cdot \dot{i}_L$$

$$i_L(t_\infty) = I_0 \quad \text{Zeitkonstante: } \tau = G \cdot L$$

10.4. Dynamischer Pfad

kapazitiv	induktiv
u_C stetig, i_C springt	i_L stetig, u_L springt
$\dot{u}(t) = -\frac{1}{C} \cdot i(t)$	$\dot{i}(t) = -\frac{1}{L} \cdot u(t)$
$i > 0 \Rightarrow \dot{u} < 0 \Rightarrow u$ fällt	$u > 0 \Rightarrow \dot{i} < 0 \Rightarrow i$ fällt
$i < 0 \Rightarrow \dot{u} > 0 \Rightarrow u$ steigt	$u < 0 \Rightarrow \dot{i} > 0 \Rightarrow i$ steigt
$i = 0 \Rightarrow \dot{u} = 0 \Rightarrow$ GGP	$u = 0 \Rightarrow \dot{i} = 0 \Rightarrow$ GGP

Zeitdauer auf linearen Pfaden:

$$\Delta t = t_1 - t_0 = \tau \ln \left(\frac{x(t_0) - x_\infty}{x(t_1) - x_\infty} \right)$$


$x(t_0)$: Startwert, $x(t_1)$: Zielwert, x_∞ : (gedachter) GGP

10.5. Übertragungsfunktion

11. Lösen von homogenen DGLs 2. Ordnung

Gegeben: Homogene Differentialgleichungen der Form $\underline{\dot{x}} = \underline{A}\underline{x}$ mit Anfangswerten $x_{0,1}$ und $x_{0,2}$

$$\lambda_1 \neq \lambda_2 \in \mathbb{R} \quad |\lambda_1| < |\lambda_2| \Rightarrow \underline{q}_2, \text{„schneller“}$$

$$\underline{x}(t) = x_{0,1} \cdot \exp(\lambda_1 t) \cdot \underline{q}_1 + x_{0,2} \cdot \exp(\lambda_2 t) \cdot \underline{q}_2$$

Matrix \underline{A}	Eigenwerte	$\underline{x} = 0$	Name	Portrait
$\begin{bmatrix} \lambda_1 & 0 \\ 0 & \lambda_2 \end{bmatrix}$	$\lambda_1 < 0 < \lambda_2$	instabil	Sattelpunkt	
	$\lambda_2 < 0, \lambda_1 < 0$	stabil	Knoten 2	
	$0 < \lambda_1, 0 < \lambda_2$	instabil	Knoten 2	
$\begin{bmatrix} 0 & 0 \\ 0 & \lambda_2 \end{bmatrix}$	$\lambda_1 = 0, \lambda_2 < 0$	stabil	Kamm	
	$\lambda_1 = 0, \lambda_2 > 0$	instabil	Kamm	

Matrix \underline{A}	Eigenwerte	$\underline{x} = 0$	Name	Portrait
$\underline{Q}' = \begin{bmatrix} \underline{q}'_1 & \underline{q}'_2 \end{bmatrix} = \begin{bmatrix} -a_{12} & -a_{12} \\ \frac{a_{11}-a_{22}}{2} & \frac{a_{11}-a_{22}}{2} - 1 \end{bmatrix} = \begin{bmatrix} \text{Eigenvektor} & \text{Hauptvektor} \end{bmatrix}$				
$\underline{x}(t) = \begin{bmatrix} 1 & (\underline{A} - \lambda \underline{I}) \cdot t \end{bmatrix} \cdot \exp(\lambda t) \cdot \begin{bmatrix} x_{0,1} \\ x_{0,2} \end{bmatrix}$				
	$\lambda < 0$	stabil	Knoten 1	
	$\lambda > 0$	instabil	Knoten 1	
$\begin{bmatrix} \lambda & 1 \\ 0 & \lambda \end{bmatrix}$	$\lambda < 0$	stabil	Knoten 3	
	$\lambda > 0$	instabil	Knoten 3	
$\begin{bmatrix} 0 & 0 \\ 0 & 0 \end{bmatrix}$	$\lambda = 0$	stabil	Ruheebene	
$\begin{bmatrix} 0 & 1 \\ 0 & 0 \end{bmatrix}$	$\lambda = 0$	instabil	Ruhegerade	

Matrix \underline{A}	Eigenwerte	$\underline{x} = 0$	Name	Portrait
$\begin{bmatrix} \alpha & -\beta \\ \beta & \alpha \end{bmatrix}$	$\alpha < 0, \beta \neq 0$	stabil	Strudel	
	$\alpha > 0, \beta \neq 0$	instabil	Strudel	
$\begin{bmatrix} 0 & -\beta \\ \beta & 0 \end{bmatrix}$	$\alpha = 0, \beta \neq 0$	stabil	Wirbel	

Zeitverlauf immer von \underline{q}_j nach \underline{q}_r bzw. von \underline{q}_r nach $-\underline{q}_j$

Lösung für *inhomogene* DGL ($\underline{v} \neq 0$) mit singularer Matrix \underline{A} (nicht entkoppelbar):

$\begin{bmatrix} 0 & 0 \\ 0 & \lambda_2 \end{bmatrix}$	$\lambda_1 = 0, \lambda_2 < 0$	instabil	Kamm	
$\begin{bmatrix} 0 & 1 \\ 0 & 0 \end{bmatrix}$	$\lambda = 0$	instabil	Knoten	

12. Zweitormatrizen

In \rightarrow	\underline{B}	\underline{G}	\underline{H}	\underline{H}'	\underline{A}	\underline{A}'
\underline{B}	$\begin{bmatrix} r_{11} & r_{12} \\ r_{21} & r_{22} \end{bmatrix}$	$\frac{1}{\det \underline{G}} \begin{bmatrix} g_{22} & -g_{12} \\ -g_{21} & g_{11} \end{bmatrix}$	$\frac{1}{h_{22}} \begin{bmatrix} \det \underline{H} & h_{12} \\ -h_{21} & 1 \end{bmatrix}$	$\frac{1}{h'_{11}} \begin{bmatrix} 1 & -h'_{12} \\ -h'_{21} & \det \underline{H}' \end{bmatrix}$	$\frac{1}{a_{21}} \begin{bmatrix} a_{11} & \det \underline{A} \\ 1 & a_{22} \end{bmatrix}$	$\frac{1}{a'_{21}} \begin{bmatrix} a'_{22} & 1 \\ \det \underline{A} & a'_{11} \end{bmatrix}$
\underline{G}	$\frac{1}{\det \underline{B}} \begin{bmatrix} r_{22} & -r_{12} \\ -r_{21} & r_{11} \end{bmatrix}$	$\begin{bmatrix} g_{11} & g_{12} \\ g_{21} & g_{22} \end{bmatrix}$	$\frac{1}{h_{11}} \begin{bmatrix} 1 & -h_{12} \\ -h_{21} & \det \underline{H} \end{bmatrix}$	$\frac{1}{h'_{22}} \begin{bmatrix} \det \underline{H}' & -h'_{12} \\ -h'_{21} & 1 \end{bmatrix}$	$\frac{1}{a_{12}} \begin{bmatrix} a_{22} & -\det \underline{A} \\ -1 & a_{11} \end{bmatrix}$	$\frac{1}{a'_{12}} \begin{bmatrix} a'_{11} & -1 \\ -\det \underline{A} & a'_{22} \end{bmatrix}$
\underline{H}	$\frac{1}{r_{22}} \begin{bmatrix} \det \underline{B} & r_{12} \\ -r_{21} & 1 \end{bmatrix}$	$\frac{1}{g_{11}} \begin{bmatrix} 1 & -g_{12} \\ -g_{21} & \det \underline{G} \end{bmatrix}$	$\begin{bmatrix} h_{11} & h_{12} \\ h_{21} & h_{22} \end{bmatrix}$	$\frac{1}{\det \underline{H}'} \begin{bmatrix} h'_{22} & -h'_{12} \\ -h'_{21} & h'_{11} \end{bmatrix}$	$\frac{1}{a_{22}} \begin{bmatrix} a_{12} & \det \underline{A} \\ -1 & a_{21} \end{bmatrix}$	$\frac{1}{a'_{11}} \begin{bmatrix} a'_{12} & 1 \\ -\det \underline{A} & a'_{21} \end{bmatrix}$
\underline{H}'	$\frac{1}{r_{11}} \begin{bmatrix} 1 & -r_{12} \\ -r_{21} & \det \underline{B} \end{bmatrix}$	$\frac{1}{g_{22}} \begin{bmatrix} \det \underline{G} & g_{12} \\ -g_{21} & 1 \end{bmatrix}$	$\frac{1}{\det \underline{H}} \begin{bmatrix} h_{22} & -h_{12} \\ -h_{21} & h_{11} \end{bmatrix}$	$\begin{bmatrix} h'_{11} & h'_{12} \\ h'_{21} & h'_{22} \end{bmatrix}$	$\frac{1}{a_{11}} \begin{bmatrix} a_{21} & -\det \underline{A} \\ 1 & a_{12} \end{bmatrix}$	$\frac{1}{a'_{22}} \begin{bmatrix} a'_{21} & -1 \\ \det \underline{A} & a'_{12} \end{bmatrix}$
\underline{A}	$\frac{1}{r_{21}} \begin{bmatrix} r_{11} & \det \underline{B} \\ 1 & r_{22} \end{bmatrix}$	$\frac{1}{g_{21}} \begin{bmatrix} -g_{22} & -1 \\ -\det \underline{G} & -g_{11} \end{bmatrix}$	$\frac{1}{h_{21}} \begin{bmatrix} -\det \underline{H} & -h_{11} \\ -h_{22} & -1 \end{bmatrix}$	$\frac{1}{h'_{21}} \begin{bmatrix} -\det \underline{H}' & -h'_{22} \\ -h'_{11} & -1 \end{bmatrix}$	$\begin{bmatrix} a_{11} & a_{12} \\ a_{21} & a_{22} \end{bmatrix}$	$\frac{1}{\det \underline{A}'} \begin{bmatrix} a'_{22} & a'_{12} \\ a'_{21} & a'_{11} \end{bmatrix}$
\underline{A}'	$\frac{1}{r_{12}} \begin{bmatrix} r_{22} & \det \underline{B} \\ 1 & r_{11} \end{bmatrix}$	$\frac{1}{g_{12}} \begin{bmatrix} -g_{11} & 1 \\ -\det \underline{G} & -g_{22} \end{bmatrix}$	$\frac{1}{h_{12}} \begin{bmatrix} 1 & h_{11} \\ h_{22} & \det \underline{H} \end{bmatrix}$	$\frac{1}{h'_{12}} \begin{bmatrix} -\det \underline{H}' & -h'_{22} \\ -h'_{11} & -1 \end{bmatrix}$	$\frac{1}{\det \underline{A}} \begin{bmatrix} a_{22} & a_{12} \\ a_{21} & a_{11} \end{bmatrix}$	$\begin{bmatrix} a'_{11} & a'_{12} \\ a'_{21} & a'_{22} \end{bmatrix}$